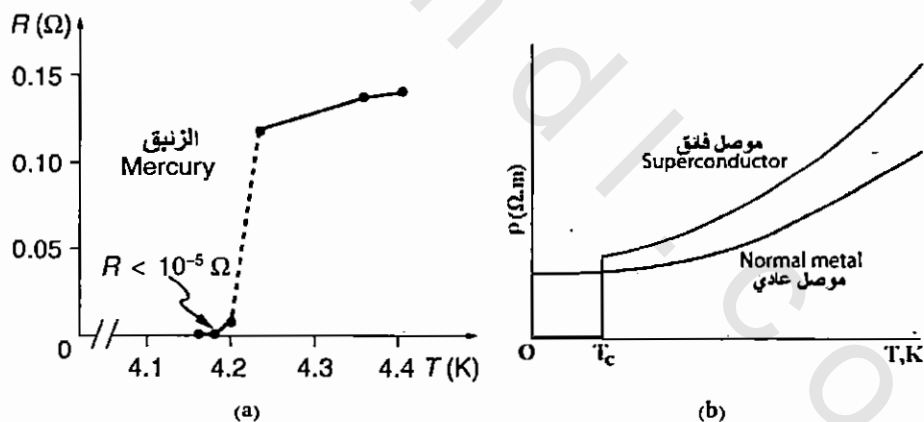


الباب التاسع

أساسيات الموصلية الفائقة

Fundamentals of superconductivity

تعطى المقاومة النوعية ρ للسبائك المعدنية طبقاً لقاعدة ماتهييسن (Matthiessen's rule) بالعلاقة $\rho = \rho_{\text{res}} + \rho_T$ ، حيث تعتمد ρ_T على درجة الحرارة وتتلاشى قيمتها عند درجة الصفر المطلق، وتصبح ρ مساوية لقيمة ρ_{res} التي تسمى بالمقاومة النوعية المتبقية (residual resistivity)، حيث لا تعتمد على درجة الحرارة وإنما تعتمد على نوع وكم الشوائب الموجودة بالسبائك. ولقد لاحظ كاميرونف أونيس (H.K.onnes) عام 1911 أن الزئبق النقي تتلاشى مقاومته عند K 4.2 تقرباً (شكل 9-1)، كما وجد أيضاً أنه عند درجات حرارة تساوى 3.35K، 3.37K، 7.19K، يحدث نقص حاد في المقاومات النوعية لعناصر الثاليلوم، القصدير والرصاص على الترتيب.



شكل (9-1): اختفاء المقاومة الكهربائية للزئبق بالقرب من K 4.2K (a)، وتغير المقاومة النوعية مع درجة الحرارة لكل من الموصل الفائق والمعدن العادي عند درجات الحرارة المنخفضة (b).

ومؤخرًا بثبت التجربة أن تياراً تبلغ شدته عدة مئات من الأمبيرات ظل ثابت القيمة دون نقص لمدة عام كامل (زمن إجراء التجربة) وهو يسرى خلال حلقة من الرصاص عند درجات حرارة منخفضة نسبياً.

وتعني الحالة $T_c = 0$ أنه عند قيمة محددة لكتافة التيار تكون شدة المجال الكهربى E عند أي نقطة للموصل مساوية للصفر وذلك طبقاً لقانون أوم $E = \rho I$. وأصبحت ظاهرة انعدام المقاومة النوعية في بعض الفلزات والمركبات عند درجات حرارة منخفضة تعرف بظاهرة التوصيل الفائق superconductivity، كما أطلق على درجة الحرارة التي يحدث عندها التحول من التوصيل العادي إلى التوصيل الفائق درجة الحرارة الحرجة transition temperature T_c ، أو درجة حرارة الانتقال critical temperature T_c . وجدير بالذكر، أنه يوجد حتى الآن عشرات من العناصر الكيميائية وعدة مئات من السبائك والمركبات الكيميائية التي تبدي توصيلاً فائقاً، حيث أطلق عليها مواد فائقة التوصيل superconductors، كما وجد أن قيمة حرارة الانتقال T_c تعتمد على نوع المادة وظروف تحضيرها ودرجة نقائها. شكل (9-1.b) يبين اختفاء المقاومة النوعية عند $T \leq T_c$ للموصل الفائق مقارنة بالموصل العادي الذي يحتفظ بقيمة ثابتة لها حتى عند درجة الصفر المطلق. جدول (9-1) يعطى بعض الأمثلة للمواد فائقة التوصيل ودرجات الحرارة الحرجة لها.

ولكي يمكن الاستفادة تكنولوجيا من هذه الظاهرة بشكل أوسع يتطلب الأمر رفع درجة الحرارة الحرجة إلى قيمة تعادل درجة حرارة الغرفة (300K)، وهو الأمل الذي أصبح يداعب علماء الفيزياء وأدى إلى تنافس دولي عجيب في الآونة الأخيرة بهدف الحصول على المركب الكيميائي الذي يتبع التفاعل الكهربائي بين مكوناته ظهور ميكانيكية مناسبة تضمن استمرارية التوصيل الفائق في درجات الحرارة العادية.

جدول (9-1): درجات الحرارة الحرجة T_c لبعض المواد

المادة	T_c , K	المادة	T_c , K
Ru	0.5	MoN	12
Cd	0.5	Nb_3Ge	20.3
Al	1.2	La - Ba - Cu - O	40

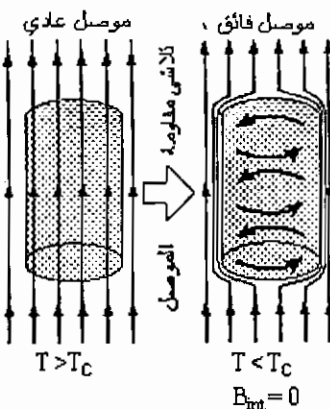
المادة	T_c , K	المادة	T_c , K
Te	2.4	Tl - Ba - Cu	77
In	3.4	Sr - TiO ₃	78
Sn	3.7	Er - Ba - Cu - O	90
Hg(γ)	4.2	Yb - Ba - Cu	95
V	5.3	Yb - B - Cu - O	96
Pb	7.2	Ti - Ba - Ca - Cu - O	100
Nb	9.6	Bi - Sr - Ca - Cu - O	102

ظاهرة ميسنر

في عام 1933 وجد ميسنر (R. Ochsenfeld) وأخرين فيلد (W. Meissner) أنه عند تسليط مجال مغناطيسي على مادة فائقة التوصيل فإن خطوط الفيصل المغناطيسي تبتعد كلياً عن المادة إذا برداً إلى درجة حرارة أقل من الدرجة الحرجة، وهذا يعني أن الحث المغناطيسي داخل المادة فائقة التوصيل يساوى صفراء. سميت هذه الظاهرة بظاهرة إقصاء الفيصل المغناطيسي (flux exclusion) أو ظاهرة ميسنر (Meissner effect) (شكل 2-9). ويمكن تفسير ذلك بأن المادة عند تحولها من الحالة الاعتيادية إلى حالة التوصيل الفائق في وجود مجال مغناطيسي تكون مصحوبة بتولد تيارات سطحية مستمرة كافية لمحو المجال المغناطيسي داخلها، فإذا كان الفيصل المغناطيسي داخل المادة في الحالة الاعتيادية يساوى الفيصل الكلي الناتج عن المجال الخارجي بالإضافة إلى الفيصل الناتج عن تمغネット المادة، أي أن:

$$\begin{aligned} B_{int} &= B_{ext} + \mu_0 J_m \\ &= \mu_0 H + \mu_0 \chi H = (1 + \chi) \mu_0 H \end{aligned}$$

حيث: J_m - هو شدة التمغネット (العزم المغناطيسي لوحدة الحجم من المادة)، χ - القابلية المغناطيسية للمادة $= \frac{J_m}{H}$ magnetic susceptibility.



شكل (٢-٩) ظاهرة ميسنر أو إقصاء الفيض المغناطيسي

وعند تحول المادة إلى التوصيل الفائق، فإن: $B_{int} = 0$

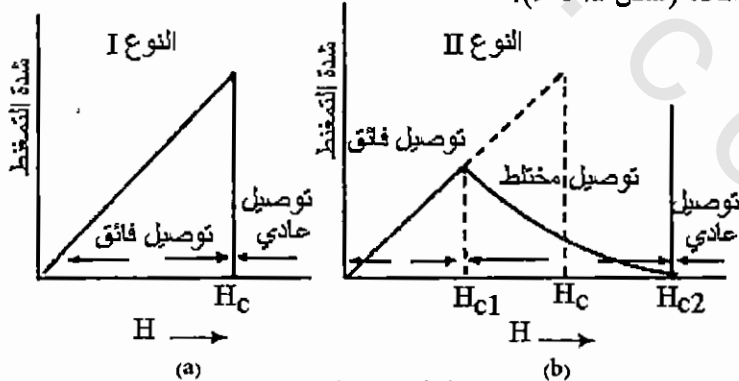
$$\text{i.e } \chi = -1$$

ويعنى ذلك، أن المادة ذات الموصلية الفائقة تكون مادة دايا مغناطيسية مثالية، لها قابلية مغناطيسية $\chi = -1$ ، (المادة الدايا مغناطيسية العادية لها $\chi \ll -1$). ومن ثم فإن حالة التوصيل الفائق تتميز بامتزاج ظاهرتين لحظيتين هما الموصلية الكهربائية المثالية ($\epsilon = 0$) والدايا مغناطيسية المثالية ($H_{int} = 0$ ، $\chi = -1$).

نوعا التوصيل الفائق: يوجد نوعان لموج التوصيل الفائق طبقا لكيفية تحول المادة من حالة التوصيل الفائق إلى الحالة الاعتيادية عندما يصبح $H \geq H_c$.

النوع الأول (Type I):

فيه تتحول المادة كليا إلى الحالة الاعتيادية عندما يتجاوز المجال المغناطيسي المطبق قيمته الحرجة H_c ، حيث يختفي التمثيل المعاكس ويتمكن المجال الخارجي من اختراق المادة (شكل ٩-٣ a).



شكل (٩-٣): نوعا التوصيل الفائق

النوع الثاني (Type II)

تحول المادة من التوصيل الفائق إلى الاعتيادي يتم على مرحلتين، حيث توجد قيمتان للمجال الحرج $H_1 < H < H_2$ ، فإذا كانت $H > H_2$ فإن المجال يخترق المادة جزئياً ويحدث توصيل مختلط من الإلكترونات التوصيل الفائق والكترونات التوصيل العادي. وعندما يصل المجال لقيمة H_2 تتحول المادة إلى التوصيل العادي (شكل 9-3).

أساسيات نظرية التوصيل الفائق BCS theory

سنحاول فهم كيفية حدوث التوصيل الفائق في المعادن طبقاً لنظرية باردين - كوبر - شريف (BCS theory) التي وضعها بواسطة العلماء باردين Bardeen، كوبير Cooper، شريف Schrieffer عام 1957، والتي حصلوا بموجبها على جائزة نوبل عام 1972م، وذلك من خلال العناصر التالية:

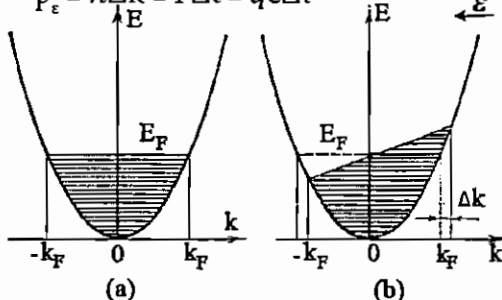
- أ- **الموصلية الكهربائية المحدودة للمعادن:**

تعطى طاقة الحركة للإلكترونات الحرة في المعادن بالعلاقة الآتية:

$$E = \frac{p^2}{2m_0} = \frac{\hbar^2 k^2}{2m_0}$$

والعلاقة السابقة بين E ، k تمثل بشكل (a)، والخطوط الأفقيّة الدقيقة تعبر عن المستويات المشغولة بالإلكترونات، والخط المجمس يمثل مستوى فيرمي. وتطبيق مجال كهربائي E يسبب تغيراً في توزيع الإلكترونات على الحالات شكل (b)، حيث يحدث انتقال للإلكترونات من اليسار إلى اليمين نظراً لزيادة المتجه الموجي بالمقدار Δk تنتج عنه زيادة في الطاقة، وتتمكن الإلكترونات من شغل الحالات الخالية فوق مستوى فيرمي، حيث تزداد كمية التحرك للإلكترونات التوصيل في زمن قدره Δt بالمقدار E_p ، حيث:

$$p_e = \hbar \Delta k = F \Delta t = q \epsilon \Delta t$$



شكل (4-9): التوزيع الإلكتروني في غياب المجال الكهربائي (a)، وفي وجود المجال (b)

يسمى المدار $F\Delta t$ ، الذى يساوى التغير فى كمية الحركة، بدفع القوة impulse of force. ونتيجة لذلك يمر تيار فى الموصى كثافته هي:

$$j = qnv_e = qn \frac{p_e}{m_o} = qn \left(\frac{qe\Delta t}{m_o} \right) = \left(\frac{q^2 n}{m_o} \right) e\Delta t = \sigma e$$

حيث σ هي الموصى النوعية للموصى. ومع استمرار زيادة الزمن Δt تزداد قيمة التيار إلى مانهاية، وهذا يقابل موصى نوعية لانهاية للموصى حيث:

$$\lim_{\Delta t \rightarrow \infty} \sigma = \lim_{\Delta t \rightarrow \infty} \frac{q^2 n}{m_o} \Delta t \rightarrow \infty$$

وهو الأمر الذى لم يتحقق عمليا لأى معدن، وذلك بسبب عمليات تشتت الإلكترونات بواسطة عيوب الشبكية (lattice defects) أو بواسطة الاهتزازات الحرارية (الفنونات) وتشتت الإلكترونات بسبب تصادمها مع الفونونات هو تشتت مرن (elastic scattering)، حيث يغير كمية حركة الإلكترونات إلى نفس القيمة فى الاتجاه المضاد ويسبب إعادة الإلكترونات من اليمين إلى اليسار من قيم k الموجبة إلى قيم k السالبة (شكل b.4-9)، لذلك فإن Δt تساوى τ_f ، حيث τ_f هو زمن الإسترخاء (relaxation time) وهو الزمن اللازم لإعادة الإلكترون إلى مستوى قريب من مستوى فيرمي. وعمليات التشتت هذه تسبب نقص السرعة الانسياقية للإلكترونات v_d (drift velocity) لتكون:

$$v_d = \frac{qe\tau_f}{m_o} \quad (9-1)$$

وبالتالى فإن كثافة التيار تصبح:

$$j = q^2 n e \tau_f / m_o \quad (9-2)$$

وتكون الموصى النوعية هي:

$$\sigma = q^2 n \frac{\tau_f}{m_o} \quad (9-3)$$

وهي قيم محدودة وليس لها نهاية.

نستخلص مما سبق أن الإلكترونات المرتدة نتيجة للتشتت المرن هي السبب فى محدودية الموصى الكهربائية للمعادن، وهو الأمر الذى كان من الممكن عدم حدوثه إذا لم تتوافر حالات مسمومة وخالية (مثل الحالات الخالية فى منطقة التوصيل) تستقبل الإلكترونات المرتدة (انظر شكل b.4-9).

ب - الفاصل الطاقى فى الموصيات الفائقة:

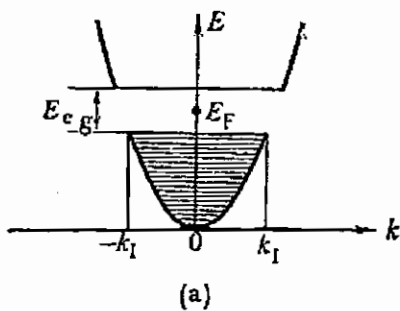
اقترن نموذج للمخطط الطaci لـإلكترونات التوصيل يحوى فاصل طaci يجعل عمليات التشتت (تحت شروط محددة) غير ممكنة حتى في وجود مراكز التشتت المختلفة (مثل الشوائب - العيوب - الفونونات الخ). هذا الفاصل الطaci E_{eg} يفصل منطقة التوصيل إلى جزءين، الجزء السفلي مشغول تماماً بالإلكترونات والجزء العلوي خالٍ تماماً، كما يقع مستوى فيرمي في منتصف الفاصل. وهو بذلك يشبه النموذج الطيفي لشبكة الموصى الذاتى عند $T = 0K$ الذى له توصيل نوعى σ يساوى صفراء، ومنطقته المحرمة لا يتغير موضعها بتأثير المجال الخارجى. إلا أن الفاصل E_{eg} فى الموصى الفائق يتتحرك بتأثير المجال الكهربائى تماماً كما يتتحرك التوزيع الإلكترونى له (شكل 9-5)، حيث خلال زمن Δt يسبب المجال زيادة المتوجه الموجى بالمقدار Δk تعطى بالعلاقة الآتية:

$$\Delta k = \frac{p_e}{\hbar} = \frac{q_e \Delta t}{\hbar} \quad (9-4)$$

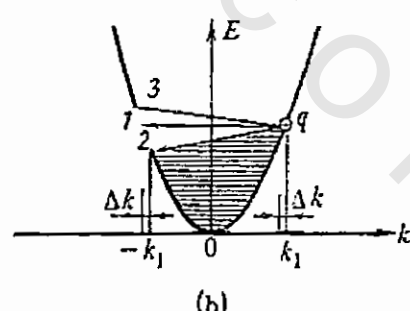
ويزاح الفاصل الطaci E_{eg} إلى اليمين.

ج - عدم إمكانية التشتت الإلكتروني في وجود الفاصل الطaci:

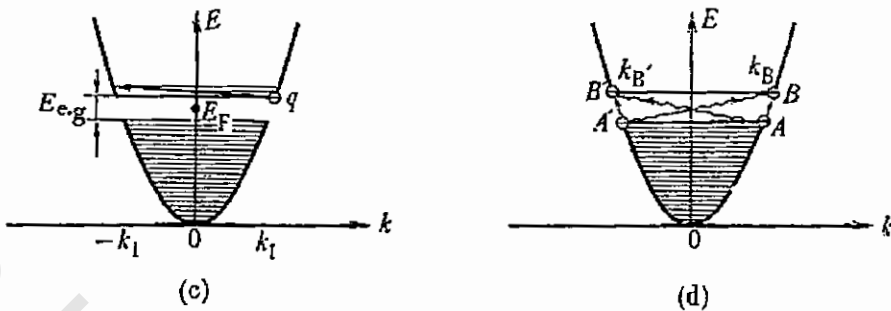
إذا افترضنا أن الإلكترون الذى يشغل المدار العلوي فى الجانب الأيمن يحاول التشتت (الإرتداد)، فإنه يوجد ثلاثة احتمالات فقط لهذا التشتت (مشار إليها بالأسماء 1، 2، 3 على الشكل b). الاحتمال الأول (1) يكون عن طريق الإرتداد من الحالة (k) إلى الحالة ($-k$) والتى تقع فى المنطقة المحرمة، وبالتالي يكون غير ممكن. الاحتمال الثاني (2) هو الانتقال إلى المدار العلوي فى قمة الجانب الأيسر للملائى، وهو أيضاً منع بسبب مبدأ باولى. ويكون مسموماً فقط الانتقال إلى أدنى مدار خالٍ فى الجانب الأيسر وهو الاحتمال (3)، ولكنه يحتاج لطاقة تعادل E_{eg} ، فإذا كانت درجة حرارة المعدن منخفضة بشكل كافٍ، فإن طاقة الفونون ω_{ph} المعنصة بواسطة الإلكترون تكون أقل من القيمة E_{eg} ويصبح هذا الانتقال غير ممكن أيضاً.



(a)



(b)



شكل: (9-5) فاصل طaci في الموصى الفائق (a)، تحرك التوزيع الإلكتروني والفاصل الطaci تحت تأثير المجال الكهربائي، واحتمالات الارتداد الإلكتروني (b)، ظهور حالات خالية في المنطقة السفلية والإلكترونات عاديّة في المنطقة العليا وبضم الفاصل الطaci مع درجة الحرارة (c)، انتقال الإلكترونيّين المتزاوجين $A \rightarrow A'$ إلى الحالة العاديّة بفضل طaci الفونون العاليّة (d).

د - انهيار حالة التوصيل الفائق بسبب الفونونات عالية الطaci:

قد توجد فونونات لها طaci ω_{ph} أكبر من اتساع المنطقة المحرمة E_g ، حيث تكون قادرة على إثارة الإلكترونات السفلية المليئة إلى المدارات الأعلى الغير مليئة حتى عندما تكون درجة الحرارة منخفضة. هذا سيؤدي إلى ظهور مدارات خالية في المنطقة السفلية مليئة وجود إلكترونات عاديّة في المنطقة العليا غير مليئة. ويعتقد أن وجود المدارات الخالية سيؤدي إلى حدوث إرتداد للإلكترونات المسئولة عن التوصيل الفائق، حيث يصبح الانتقال 2 ممكناً شكل (b.9)، ويؤدي ذلك إلى تحطيم حالة الموصى الفائقه. وبالفعل، فإن ارتفاع درجة الحرارة يكون مصحوباً بضم المنطقة المحرمة (شكل c.9) لدرجة أنه لا يبقى أي مستوى في المنطقة السفلية خالياً لاستقبال الإلكترونات المرتدة، ويتم التشتت الإلكتروني إلى المنطقة العليا الخالية.

يعنى آخر أن الفونون الذي طaciه $E_g > \omega_{ph}$ لا يحول إلكترون التوصيل الفائق A إلى إلكترون العادي A' فقط ولكن يحطّم حالة التوصيل الفائق له وللإلكترون A' المتزاوج معه وذلك بإثارته إلى الحالة العاديّة شكل (b.9) وعندما تزداد درجة الحرارة فإن عدد الفونونات الطaciّة يزداد، اتساع المنطقة المحرمة يقل مع نقص عدد الإلكترونات التوصيل الفائق، ويزداد عدد الإلكترونات العاديّة – وعند درجة حرارة $T=T_c$ فإن المنطقة المحرمة تختفي وكل الإلكترونات تذهب إلى الحالة العاديّة وتنهي حالة الموصى الفائقة.

من ثم، فإنه تحت ظروف معينة، يمكن اختفاء عمليات التشتت (التبخر) للإلكترونات التي تحدّ من الموصى الكهربائية للمعدن، وفي هذه الحالة يمتلك المعدن فاصلاً طaciّاً

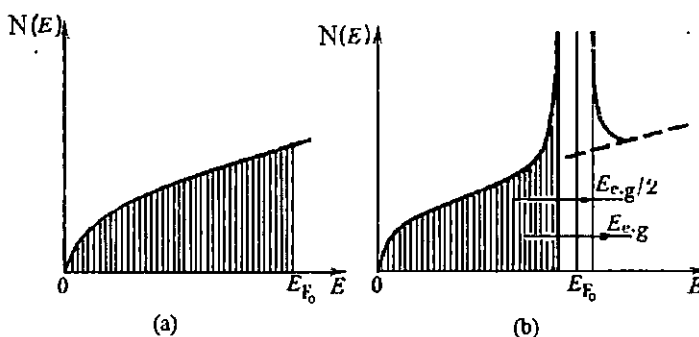
متحركا mobil gab ويصبح حتى في وجود مراكز التشتت المختلفة مثل الفونونات موصلًا مثاليا ideal conductor ويطلق عليه موصلًا فائقا superconductor.

هـ- بعض الخصائص الهامة للموصل الفائق:

ـ دعونا ننظر ثانية إلى شكل (a. 4-9)، نلاحظ أن الماس للمنحنى (k) عند قمة الجزء السفلي (الملىء) لمنطقة التوصيل يكون أفقيا، وبالتالي فإن السرعة الانتقالية للإلكترونات ($v = \frac{dE}{dt}$) التي تشغل هذه المستويات تساوى صفرًا رغم أن كمية تحركها والتجه الموجي $P_1 = k_1$ لها قيمة كبيرة جدًا. هذه الخاصية تعتبر أساسية عند بناء نموذج الموصلية الفائقة.

ـ شكل (a. 6-9) يبين الاعتماد الطاقي لكثافة الحالات ($N(E)$) في منطقة التوصيل لمعدن عادي عندما $T = 0K$ ، وشكل (b. 6-9) يبين نفس العلاقة في حالة وجود فاصل طاقي $E_{e.g.}$ في منطقة التوصيل. نلاحظ أن كثافة الحالات بالقرب من جانبي الفاصل الطاقي كبيرة نسبياً بسبب إضافة حالات المسافة الطاقية $\frac{E_{e.g.}}{2}$ إليها. فإذا كان ممكناً أن ثبت أن المعادن يمكن بالفعل أن تملك طيفاً طاقياً إلكترونياً به فاصل طاقي في حالة التوصيل الفائق، فإن ذلك يعتبر تأكيداً لصحة نظرية التوصيل الفائق (BCS theory).

لذلك فإن جهوداً بذلت للتحقق من وجود مثل هذا الفاصل الطاقي في المعادن فائقية التوصيل. وحالياً يوجد عدد من الطرق التي ليست قادرة فقط على التتحقق من وجود هذا الفاصل بل وقادرة أيضاً على قياس اتساعه. إحدى هذه الطرق هي تعريض العينة للأشعة فوق الحمراء (far infrared) وبنطغيير تردد الشعاع الساقط يمكن أن نحصل على قيمة قصوى للامتصاص تظهر على هيئة قمة (peak) على المنحنى الطيفي. هذا يدل على أن المادة تحتوى على هذا الفاصل الطاقي.



شكل (6-9): كثافة الحالات في منطقة التوصيل لمعدن عادي (a)، وللمعدن في حالة وجود فاصل طاقي (b)

وتكون $E_{eg} = E_c \hbar \omega$ (التردد الحرج الذى عنده يحدث الامتصاص) يمكن إيجاد اتساع الفاصل الطاقى E_c . (جدول 2-9) يعطى قيم كل من الفاصل الطاقى E_c ودرجة الحرارة الحرجية T_c لبعض العناصر، نلاحظ أن قيمة E_{eg} صغيرة فى حدود (10^{-2} - 10^{-3}) وأن E_c مرتبطة مع T_c ، فكلما كانت E_{eg} كبيرة كانت درجة الحرارة الحرجية T_c كبيرة أيضا.

جدول (2-9): قيم الفاصل الطاقى E_c ودرجة الحرارة الحرجية T_c لبعض العناصر

العناصر	Al	Sn	Hg	V	Pb	Nb
$E_{eg}(0) \text{ (} 10^3 \text{ ev)}$	3.26	11	12.4	14.3	21.4	22.4
$T_c \text{ (K)}$	1.2	3.73	4.15	4.9	7.19	9.22
$E_{eg} = 3.5 K_B T_c \text{ (} 10^3 \text{ ev)}$	3.6	11.2	12.5	14.8	21.7	27.7

بعد التأكيد من حقيقة وجود هذا الفاصل في المواد فائقة التوصيل، دعونا نحاول معرفة سبب وكيفية تكونه.

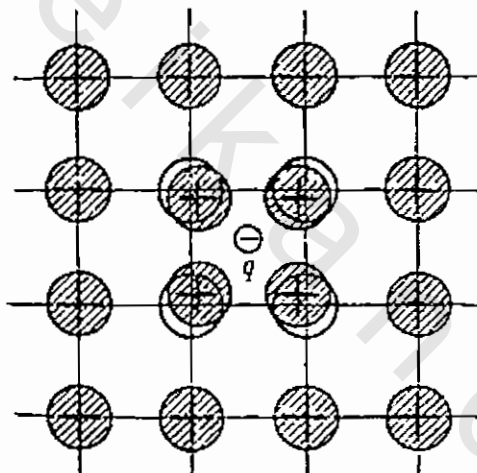
الزوج الإلكتروني Electron Cooper-pair

كما نعلم أن وجود النقطة المحرمة في أشباه الموصلات يرجع إلى تفاعل الإلكترونات مع المجال الدورى لآيونات الشبكية البلورية، لذلك فمن العقول أن نفترض أن ظهور الفاصل الطاقى في منطقة التوصيل للمعدن في حالة التوصيل الفائق يكون راجعاً لتفاعل معين إضافي بين الإلكترونات وآيونات الشبكية.

ولمعرفة مصدر هذا الفاصل نفترض أن إلكتروناً حرراً يتحرك خلال الشبكية ويتفاعل مع آيوناتها، وأنه في لحظة ما أمكنه جذب بعض هذه الآيونات إليه مبعداً إياها عن مواضع اتزانها. هذا يؤدي إلى زيادة تأثير الشحنة الموجبة (شكل 2-7)، ولعadelة هذا التأثير الإيجابي الزائد للشحنة الموجبة فإن إلكتروناً آخر يمكن أن ينجذب إلى مجال تأثير هذه الشحنة الزائدة. ومعنى ذلك أن هذين الإلكترونين يصبهان متجلذبين معاً بسبب وساطة الآيونات الموجبة. فإذا كانت قوة التجاذب بين الإلكترونين تزيد على قوة التناحر بينهما، فإن هذين الإلكترونين يكونان ثانياً إلكترونياً. هذا الثنائي الإلكتروني أصبح معروفاً الآن باسم (cooper pair).

وتكون هذا الثنائي الإلكتروني يؤدى إلى نقص في طاقة كل إلكترون بقيمة تساوى

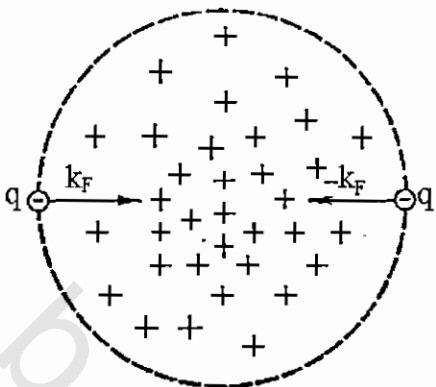
طاقة ربطة في الثنائي الإلكتروني (E_b). وبما أن الإلكترونات التوصيل في المعدن العادي تملك طاقة قصوى قدرها E_g عندما $T=0K$ (شكل 9-6.a)، فإنه في حالة الانتقال إلى التوصيل الفائق تكون الطاقة القصوى هي $(E_b - E_g)$ ، وبالتالي فإن أعلى مستوى مليء بالإلكترونات يقع أسفل مستوى فيرمى بالقدر E_g ، ويكون فاصل طaci اتساعه $E_g = 2E_b$ ، حيث تحدث إزاحة بنفس المقدار لقاع المنطقة العليا الخالية أعلى مستوى فيرمى شكل (9-6.b). ولكسر الترابط بين الثنائي الإلكتروني وتحويلهما إلى الإلكترونات عادية عند $T=0K$ تلزم طاقة على الأقل تساوى $2E_b$.



شكل: (9-7) تكون الشحنة التأثيرية الموجبة الزائدة

وكما يتضح من شكل (9-8) فإن الثنائي الإلكتروني يتكون من اثنين من الإلكترونات المتذبذبة حول الشحنة التأثيرية الموجبة (حيث يتشابه بطريقة ما مع ذرة الهيليوم)، لكل إلكترون منها كمية حركة P كبيرة ومتجه موجي k كبير، بينما يكون المركز الكتلي للثنائي الإلكتروني ثابتاً، أي أن سرعته الانتقالية $\frac{dE}{dk} \propto v$ تساوى صفرًا. وهذه الصفة غير المألوفة تتميز بها الإلكترونات التي تشغّل المستويات العليا من الجزء الملىء لمنطقة التوصيل في وجود الفاصل الطaci. وبما أن الشحنة الموجبة المركزية تكون متاثرة بحركة الإلكترونات نفسها، فإن الزوج الإلكتروني المتأثر بال المجال الخارجي يمكن أن يندفع (بسرعة اندفاعية) حرًا في البلورة، ويتحرك الفاصل الطaci مع التوزيع الإلكتروني كما هو واضح في شكل (9-6.b).

شكل (8-9): الزوج الإلكتروني
Electron Cooper-pair



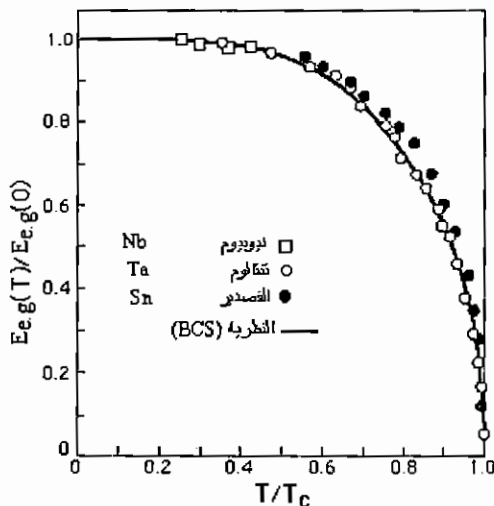
ومما سبق يمكن أن نستنتج ما يلى:

- ليست كل إلكترونات التوصيل يمكن أن تكون أزواجاً إلكترونية cooper pairs وذلك بسبب ما تتطلبه هذه العملية من تغير في الطاقة، وهو الأمر المتأخ فقط للإلكترونات الموجودة في الشريط الضيق الملافق لمستوى فيرمي والمسمى بالكترونات فيرمي. والتقدير التقريبي لهذه الإلكترونات بين أن عددها يساوى 10^4 من عدد الإلكترونات الكلى (أى يساوى تقريباً $1/20$ من عدد الإلكترونات التوصيل).
- حركة الإلكترونات في الأزواج الإلكترونية تشبه حركة مسلقى الجبال المربوطنين معاً بواسطة جبل، فإذا تخلف أحدهم بسبب تضاريس الأرض (هنا بسبب الاهتزازات الحرارية لذرات الشبكة) فإن بقية المجموعة تعيده ثانية. هذه الخاصية تجعل مجموعة الأزواج الإلكترونية قليلة الحساسية للتغير. وعليه، فإن الأزواج الإلكترونية الواقعة تحت تأثير قوة خارجية تتحرك بفعل هذه القوة، ويستمر التيار الناتج بسبب هذه الحركة في الأنسياب خلال الموصل الفائق دون توقف حتى بعد توقف المجال الخارجى. مثل هذه الحالة يمكن تمثيلها بالجسم الذى يتحرك بدون احتكاك، حيث تستمر كمية تحركه ثابتة إلى مالانهاية بعد إزالة القوة المؤثرة عليه.
- تأثير الثنائيات الإلكترونية يظهر كتأثير جماعى، فلقد بينت الحسابات أن القطر الفعال للثنائى الإلكترونى هو $(10^{-6} - 10^{-7}) \text{ m} = \text{L}$ المعروف بطول الالتصاق (coherence length)، وهو يزيد على أبعاد ذرة الهيليوم بعده رتب، حيث يوجد عدد 10^6 من الثنائيات الإلكترونية متداخلة معاً في الحجم L^3 . لذلك فلا يمكن النظر إلى الزوج الإلكتروني بصفة انفصالية.

٤- فيما سبق بینا أن تكون الثنائي الإلكتروني هو نتیجة لتفاعل إلكترونات فيرمی مع ذرات الشبکیة. لذلك، فإن طاقة الربط (اتساع المنطة المحرمة E_{eg}) تعتمد على حالة المجموع للإلكترونات والذرات ككل (electron -atom ensemble). فعند درجة الصفر المطلق حينما تكون كل إلكترونات فيرمی متزاوجة فإن اتساع المنطة الفاصلة يكون قيمة قصوى (٠) $E_{eg}(0)$ (شكل ٩-٩). وارتفاع درجة الحرارة يكون مصحوباً بتحول فونونات قادرة على إعطاء الإلكترونات طاقة كافية لكسر التزواج وتحويلها إلى إلكترونات عاديّة. إلا أنه عند درجات الحرارة المنخفضة لا يكون تركيز هذه الفونونات كبيراً، وبالتالي فإن حدوث كسر روابط الثنائيات يكون نادراً. عموماً فإن اختفاء بعض هذه الثنائيات يؤدي إلى ضيق المنطقة المحرمة، ومع ارتفاع درجة الحرارة أكثر يزداد تركيز الفونونات بسرعة وتزداد طاقتها، وهذا يؤدي إلى تكسير أكثر في روابط الثنائيات مسبيّة نقصاً أكبر في اتساع الفاصل الطاقي. وعند درجة حرارة معينة T_c تختفي المنطة المحرمة كليّة ويتحول المعدن إلى حالته العاديّة. كما نلاحظ أيضاً (جدول ٢) أن $E_{eg}(0)$ تكون كبيرة للمعدن الذي له $T_c(0)$ كبيرة. ولقد أعطت النظرية (BCS) العلاقة التقريبية بين $E_{eg}(0)$ & T_c الآتية:

$$E_{eg}(0) = 3.5 k_B T_c \quad (9-5)$$

حيث $E_{eg}(0)$ هي اتساع الفاصل الطاقي عند ٠K. واضح أن قيم الفاصل الطاقي المحسوبة بهذه العلاقة تعتبر متفقة بشكل كبير مع النتائج العملية كما يبيّن جدول (٢) وشكل (٩-٩).



شكل (٩-٩) اعتماد اتساع الفاصل الطاقي على درجة الحرارة

٥- لما كان الفاصل الطاقي في الموصلات الفائقية ينشأ بسبب تفاعل معين إضافي بين الإلكترونات والآيونات، لذلك فإنه يتوقع أن تحدث ظاهرة التوصيل الفائق في المعادن التي يكون لغازها الإلكتروني تفاعل قوي مع الشبكية، هذه المعادن تكون موصليتها الكهربائية ضعيفة في الظروف العادية مثل الرصاص، الثاليلوم، القصدير، الزئبق..... الخ.

السلوك في المجال الكهربائي الخارجي

إذا وضعنا عينة إسطوانية طويلة من معدن فائق التوصيل في دائرة كهربائية كال箕ينة في شكل (a. 10-9)، فإنه عند غلق الدائرة يؤثر على العينة مجال كهربائي متجانس يجعل كل الأزواج الإلكترونية الموجودة بالعينة تبدأ في الحركة ضد اتجاه المجال وبعجلة واحدة (a) تعطى كالتالي:

$$a = \frac{2q\epsilon(t)}{2m_0} = \frac{q\epsilon(t)}{m_0} \quad (9-6)$$

حيث $2q$ هي شحنة الثنائي الإلكتروني، m_0 كتلته، وتبعد كثافة التيار في النمو

بمعدل مقداره:

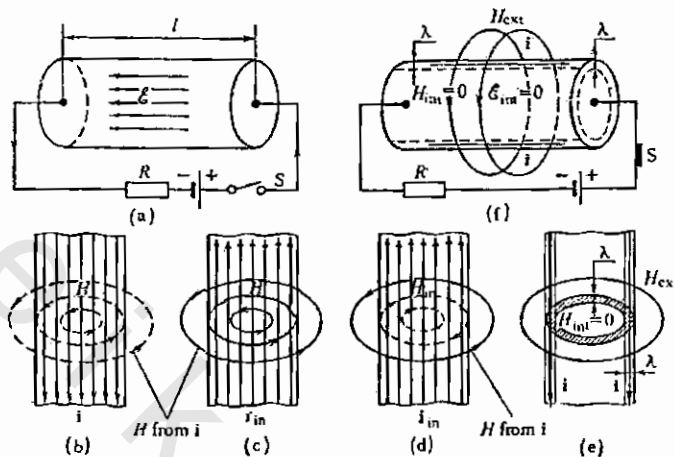
$$\frac{dj}{dt} = 2q \left(\frac{n_s}{2} \right) \frac{dv_d}{dt} = qn_s a = \frac{q^2 n_s}{m_0} \epsilon(t) \quad (9-7)$$

حيث v_d هي السرعة الانسيابية للثنائيات الإلكترونية، n_s هو تركيز الإلكترونات التوصيل الفائق. وبما أن التيار يزداد مع الزمن بسبب زيادة سرعة الإلكترونات مع الزمن، فإنه يتولد مجال مغناطيسي دائرى H (solenoidal) في الموصل الفائق (شكل b. 10-9). وهذا بدوره يسبب ظهور مجال كهربائي تأثيرى ϵ_{in} اتجاهه ضد اتجاه H وكذلك تيار تأثيرى اتجاهه مضاد لاتجاه H (شكل c. 10-9). التيار التأثيرى i_{in} يولد مجالاً مغناطيسيًا H_{in} اتجاهه ضد اتجاه H (شكل d. 10-9). ونتيجة لذلك يحدث تعويض للمجال H بواسطة H_{in} داخل الموصل الفائق، ويحدث تعويض للمجال H بواسطة H_{in} ، وبذلك يصبح $H = 0$ & $\epsilon = 0$ داخل الموصل - شكل (f&e) (9-10).

ولكى يظل التعويض للمجالين H & H_{in} مستمراً (أى تكون دائمة بعد الفترة اللحظية $H = 0$ & $\epsilon = 0$) يكون من الضروري:

١- أن يظل التيار i_{in} الناشئ عن الثنائيات كما هو، أى لا يتغير مع الزمن بعد انتهاء

الفترة اللحظية الأولى. أى لابد أن تكون مقاومة العينة صفراء (حتى لا تسبب تناقص التيار مع الزمن)، وأن يكون $\frac{d}{dt} = 0$ حتى لا يسبب تعجيلاً للإلكترونات تؤدي لزيادة التيار مع الزمن. وهذا هو ما يحدث إذا كانت العينة فائقة التوصيل.



شكل : (9-10) العمليات اللحظية والوصول إلى الحالة المستقرة للتوصيل الفائق تحت تأثير مجال كهربائي.

٢- ألا ينشأ عن هذا التيار مجال مغناطيسيي داخلي ($H_{int} = 0$) لذلك لابد أن يكون سريانه في الطبقة السطحية للموصل الفائق (شكل 9-10.e&f)، حيث ينتج عنه مجال مغناطيسي خارجي وليس داخل العينة.

ومن ثم فإنه عندما تصل العمليات اللحظية لنهايتها فإن الحالة المستقرة stationary state للموصل الفائق تتحقق في العينة حيث يحدث امتزاج ظاهوري الموصولة المثالية $(H_{int} = 0 \& i = \text{constant})$.

مما سبق يتضح أن الأزواج الإلكترونية في الحالة المستقرة تتحرك بدون عجلة (حركة بسرعة منتظمة free motion) وبسرعة انسانية $v_d = p_e / m_0$ ، هي كمية التحرك التي اكتسبتها الثنائي الإلكتروني في فترة غلق الدائرة. ويكون التيار الناتج هو:

$$i = 2q \left(\frac{n_s}{2} \right) v_d = q n_s \frac{p_e}{m_0} \quad (9-8)$$

حيث يسرى في طبقة سطحية للعينة ذات سمك λ ، ويكون المجال المغناطيسي مرکزاً فيها (شكل 9-10.e,f)، ويسمى البارامتر λ بعمق التغلغل penetration depth (BCS) بالعلاقة الآتية :

$$\lambda = \sqrt{\frac{m_0}{q^2 n_s \mu_0}} \quad (9-9)$$

حيث μ_0 هي النفاذية المغناطيسية للفراغ. ولقد وجد أن قيمة λ للموصلات الفائقة تتراوح بين 4×10^{-8} إلى 10^{-7} مترًا.

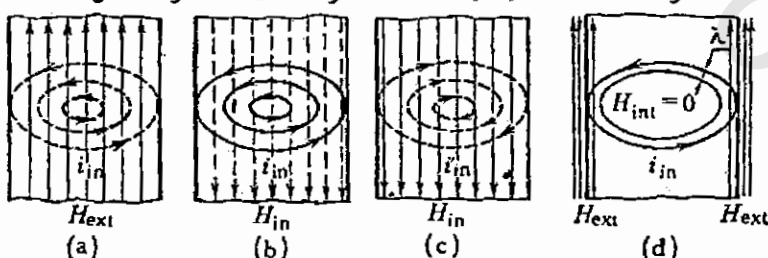
وكما هو واضح من العلاقة (9-9) أنه عندما $T = 0$ حيث تختفي الإلكترونات التوصيل الفائق ($n_s = 0$) فإن λ لا تصبح لا نهائية القيمة. ومعنى ذلك فيزيائياً أنه عندما يعود المعدن لحالته العادي فإن الطبقة λ التي يتمركز بها المجال المغناطيسي سوف تنتشر خلال مساحة مقطع العينة كلها وتختفي ظاهرة الدايا المغناطيسية المثلية.

السلوك في مجال مغناطيسي

والآن نفرض أن مجالاً مغناطيسياً خارجياً H_{ext} موجود في الفراغ الذي يحتوى عينة إسطوانية فائقة التوصيل (شكل a). ينتج عنه في العينة تيار كهربائي i_{in} . والتيار بدوره ينشأ مجالاً مغناطيسياً تأثيرياً H_{in} (شكل b). اتجاهه مضاد لاتجاه المجال الخارجي H_{ext} ويقوم بتعويضه. والمجال المغناطيسي H_{in} ينشأ بدوره تياراً تأثيرياً i' حيث يقوم بتعويض i_{in} (شكل c). ويكون التأثير الكلي هو التعويض للمجال H_{ext} بالتيار i' بالتيار i_{in} (شكل d). ويناسب التيار التأثيري الكلى في الطبقة السطحية الرقيقة التي يتمركز فيها المجال المغناطيسي. وبعد الوصول إلى نهاية العمليات اللحظية نحصل على الحالة الثابتة (steady state) في العينة، حيث يكون:

$$E = 0 \quad i = \text{constant} \quad H_{int} = 0 \quad (9-10)$$

ومن الطبيعي أن هذه الحالة لا تتحقق إلا إذا كان التيار التأثيري الناتج في الفترة الزمنية التي ينمو فيها المجال المغناطيسي لقيمه الثابتة (عند غلق الدائرة) مستمراً إلى ما لا نهاية، وهذا لا يحدث إلا إذا كانت مقاومة العينة تساوى صفرًا.



شكل (9-11): العمليات اللحظية تحت تأثير مجال مغناطيسي والوصول إلى الحالة الثابتة للتوصيل الفائق

هدم حالة التوصيل الفائق

قبل تطبيق المجال على العينة تكون كميتا التحرك الإلكتروني الثنائي متساوياً إلى القيمة ومتضادتي الاتجاه، وكمية تحرك مركز الكتلة لهما = صفر. وبتطبيق المجال فإن كل الثنائي الإلكتروني يكتسب سرعة انقيادية (drift velocity) v_d وتزداد طاقته بالقدر ΔE ، حيث:

$$\Delta E = 2\left(\frac{1}{2}m_0v_d^2\right) \quad (9-11)$$

فإذا زادت هذه الطاقة عن طاقة ربط الثنائي الإلكتروني $E_{e.g} = E_e - E_g$ فإن الثنائي الإلكتروني يبدأ في التحطّم وتبدأ حالة التوصيل الفائق في الانهيار. لذلك فإن شرط انتقال المعدن من حالة التوصيل الفائق إلى حالته العادي يكون هو:

$$2\left(\frac{m_0v_d^2}{2}\right) \geq \frac{E_{e.g}}{2}$$

وتكون السرعة الانسياقية هي :

$$v_d = \sqrt{\frac{E_{e.g}}{2m_0}} \quad (9-12)$$

وكثافة التيار j_c الحرجية هي :

$$j_c = qn_s v_d = qn_s \sqrt{\frac{E_{e.g}}{2m_0}} \quad (9-13)$$

فإذا كانت $n_s = 10^{24} \text{ m}^{-3}$ & $q = 1.6 \times 10^{-19} \text{ coul}$ & $E_{e.g} = 5 \times 10^{-4} \text{ ev}$ فإن حالة التوصيل الفائق تبدأ في الانهيار عندما:

$$j_c = 2.5 \times 10^9 \text{ A/m}^2 \quad \text{أو} \quad v_d = 1.8 \times 10^4 \text{ m/s}$$

وبالأخذ في الاعتبار أن كثافة التيار j ينشأ عنها مجال مغناطيسي على سطح العينة شدته تعطى بالعلاقة الآتية:

$$H = \lambda j \quad (9-14)$$

فإن التوصيل الفائق للعينة يبدأ في الانهيار عندما تكون شدة المجال المغناطيسي على السطح تعطى بالقيمة الحرجية الآتية:

$$H = \lambda j_c$$

بالتعميض عن λ من العلاقة (9-9) وعن j_c من العلاقة (9-13) نجد أن:

$$H_c = \sqrt{\frac{n_s E_{e.g}}{2\mu_0}} \quad (9-15)$$

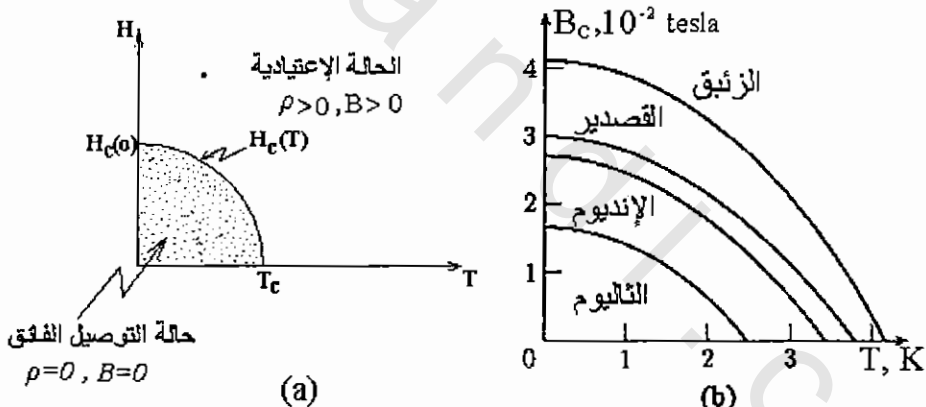
(فإذا كانت $E_{\text{e}} = 5 \times 10^4 \text{ eV}$ فإن $n_e = 10^{24} \text{ m}^{-3}$ و $H_c \approx 10^4 \text{ A/m}$). أى أنه عندما يصل المجال المغناطيسي على سطح الموصل الفائق إلى قيمته الحرجة المعطاة بالعلاقة (9-15) فإن خاصية التوصيل الفائق سوف تنهار. وبما أن اتساع المنطقة المحرمة يعتمد على درجة الحرارة (العلاقة 9-5)، فإن j_c يعتمد على درجة الحرارة أيضاً. شكل (9-12) يعطي تغير H_c مع درجة الحرارة.

ولقد أعطت نظرية باردين (BCS) العلاقاتين الآتيتين لاعتماد j_c على درجة الحرارة المطلقة :

$$H_c = H_c(0) [1 - (T / T_c)^2] \quad (9-16)$$

$$d \gg \lambda \quad \text{عندما} \quad j_c = dH_c \quad (9-17)$$

حيث $H_c(0)$ هو شدة المجال المغناطيسي الحرجة عندما $T = 0\text{K}$, d هو قطر العينة. وتبين العلاقة (9-16) أن القيمة الحرجة للمجال المغناطيسي تقل من قيمتها القصوى إلى الصفر مع ارتفاع درجة الحرارة من 0 K حتى T_c (شكل a. 9-12), وهو تصرف يتفق مع النتائج العملية بصورة مقبولة كما يبين شكل (b. 9-12).



شكل (9-12): الشكل العام لتغير القيمة الحرجة لكل من المجال المغناطيسي (a) وكثافة الفيض لبعض العناصر عملياً (b) مع درجة الحرارة.

الاستخدامات العملية للموصولة الفائقة

لكى يمكن الاستفادة من هذه الظاهرة بشكل أوسع يلزم رفع T_c على الأقل إلى درجة حرارة الغرفة. وكما بينت نظرية باردين أن T_c مرتبطة مباشرة بقوية التجاذب بين

الإلكترونات في الموصى الفائق، وأنه يمكن تعينيها تقربياً من العلاقة الآتية:

$$T_c = \theta_D e^{-1/g}$$

حيث θ_D هي درجة حرارة ديباي & g ثابت يعتمد على قوة التجاذب بين الإلكترونات وقيمه أقل أو تساوى 0.5، فإذا فرضنا أن $\frac{1}{3} = g$ فإن درجة الحرارة الحرجة القصوى لل المادة عندما $T_c = 25K = \theta_D = 500K$ هي $T_c > 100K$. وهذا يعني أنه لا يمكن الحصول على T_c باستخدام ميكانيكية الأزواج الإلكترونية. لذلك، تبذل محاولات لرفع T_c باستخدام هذه الميكانيكية عن طريق استخدام مركبات كيميائية لها قيمة أكبر للثابت g بهدف الوصول بالدرجة الحرجة إلى قيمة قريبة من درجة حرارة الغرفة، ونجاح هذه الجهود سيشكل ثورة تكنولوجية حقيقية تؤدى إلى فتح آفاق عريضة في مجالات عده منها:

- نقل الطاقة الكهربية من أماكن توليدها إلى مناطق استهلاكها دون فقد بواسطة أسلاك ضخمة مصنعة من مواد فائقة التوصيل.
- تطوير صناعة الملفات العملاقة المستخدمة في تخزين الطاقة.
- تصنيع القطارات ذات السرعات الهائلة باستخدام وسادات مغناطيسية.
- إتاحة المجال لقفزات كبيرة في البحث العلمي عن طريق تطوير الأجهزة البحثية.
- تطوير صناعة الأجهزة الإلكترونية وأجهزة الحاسوبات.

